

РОССИЙСКАЯ АКАДЕМИЯ НАУК
СИБИРСКОЕ ОТДЕЛЕНИЕ

ЖУРНАЛ
СТРУКТУРНОЙ
ХИМИИ
НАУЧНЫЙ ЖУРНАЛ

Основан в 1960 г.

Выходит 6 раз в год

ТОМ 55

Ноябрь-декабрь

№ 6, 2014

СОДЕРЖАНИЕ

ТЕОРИЯ СТРОЕНИЯ МОЛЕКУЛ И ХИМИЧЕСКОЙ СВЯЗИ

Плахутин Б.Н. 1055

Общая форма полного одноэлектронного гамильтониана в ограниченном методе Хартри–Фока для открытых оболочек

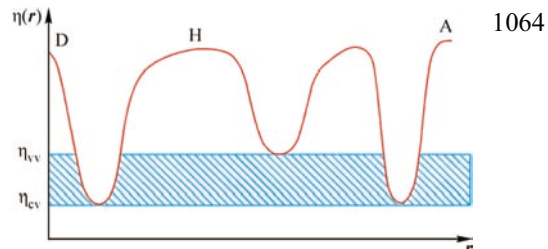
$$\hat{R} = \hat{R}_{(1)} + \hat{R}_{(2)} + \hat{R}_{(3)}; \quad \hat{R}_{(3)} = ?$$

Ключевые слова: ограниченный метод Хартри–Фока, вариационный принцип, теоремы Кулманса и Бриллюэна, общее выражение для хартри–фоковского гамильтониана

Ващенко А.В., Афонин А.В.

Изучение внутримолекулярных водородных связей С–Н…Х (Х = N, O) в рамках теории функции локализации электронов

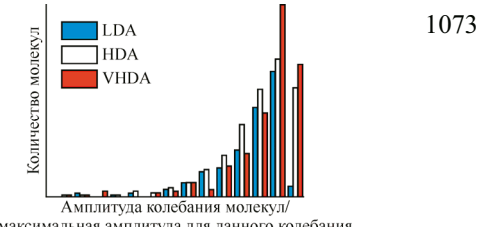
Ключевые слова: внутримолекулярная водородная связь, функция локализации электронов, индекс бифуркации внутренних и валентных электронов, квантовая теория «Атомы в молекулах»



Гец К.В., Белослудов В.Р.

Теоретическое исследование свойств низкочастотных колебаний аморфных льдов низкой, высокой и сверхвысокой плотности

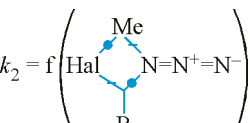
Ключевые слова: межмолекулярные взаимодействия, молекулярная динамика, решеточная динамика, аморфные льды, коллективные колебания, фазовые переходы



Нугманов Р.И., Маджидов Т.И., Халиуллина Г.Р.,
Баскин И.И., Антипин И.С., Варнек А.А.

Разработка моделей «структура–свойство» в реакциях нуклеофильного замещения с участием азидов

Ключевые слова: хемоинформатика, молекулярное моделирование, нуклеофильное замещение, константа скорости, конденсированный граф реакции



1080

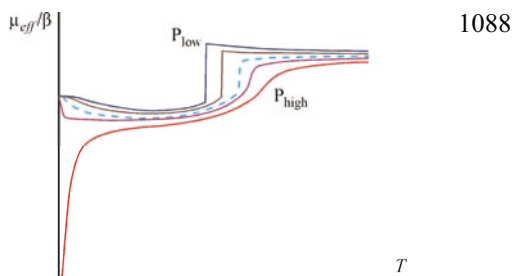
ИЗДАТЕЛЬСТВО СО РАН
НОВОСИБИРСК
2014

ИССЛЕДОВАНИЕ СТРОЕНИЯ МОЛЕКУЛ ФИЗИЧЕСКИМИ МЕТОДАМИ

Морозов В.А.

Качественное описание трансформации термических магнитоструктурных переходов в цепочке обменных кластеров под действием внешнего давления

Ключевые слова: молекулярные магнетики, обменный кластер, спин-кроссовер, магнитоструктурные переходы, эффективный магнитный момент

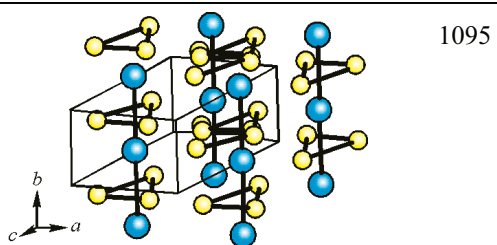


1088

Шкварин А.С., Ярмошенко Ю.М., Яблонских М.В., Меренцов А.И., Титов А.Н.

Исследование электронной структуры TiS_3 методами рентгеновской спектроскопии

Ключевые слова: резонансная фотоэмиссия, фотоэлектронная и абсорбционная спектроскопия, трисульфид титана

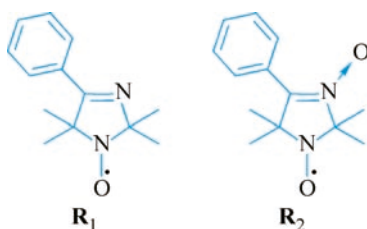


1095

Мазалов Л.Н., Федоренко А.Д., Крючкова Н.А., Диков Ю.П., Полиенко Ю.Ф., Григорьев И.А.

Рентгеноспектральное и рентгеноэлектронное изучение электронного строения парамагнитных и диамагнитных производных 3-имидазолина

Ключевые слова: свободные нитроксильные радикалы, производные 3-имидазолина, рентгеновская фотоэлектронная спектроскопия, рентгеновская эмиссионная спектроскопия, эффективные заряды, спиновая плотность

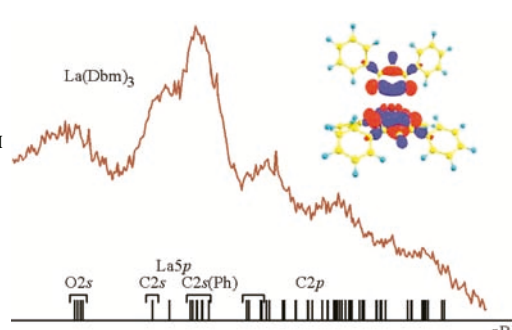


1100

Короченцев В.В., Вовна В.И., Калиновская И.В., Комиссаров А.А., Доценко А.А., Шурыгин А.В., Мирочник А.Г., Сергиенко В.И.

Электронная структура *tris*-дibenзоилметанатов редкоземельных элементов Sc, Y, La по результатам исследований методами рентгеновской фотоэлектронной спектроскопии и теории функционала электронной плотности

Ключевые слова: рентгеновская фотоэлектронная спектроскопия, теория функционала плотности, *tris*-дibenзоилметанаты металлов, редкоземельные элементы Sc, Y, La, электронное строение



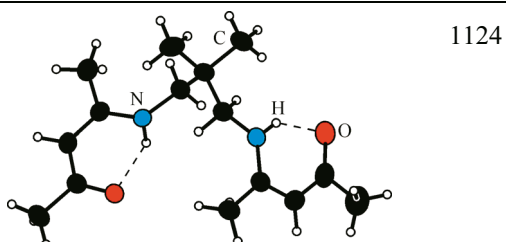
1114

КРИСТАЛЛОХИМИЯ

Доровских С.И., Куратьева Н.В., Ткачёв С.В., Трубин С.В., Стабников П.А., Морозова Н.Б.

Комплексы меди(II) с основаниями Шиффа: структуры и термическое поведение

Ключевые слова: лиганды с основаниями Шиффа, комплексы меди(II), рентгеноструктурный анализ, термогравиометрия



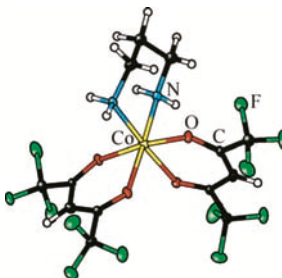
1124

Доровских С.И., Пирязев Д.А., Плюснина О.А.,
Зеленина Л.Н., Морозова Н.Б.

1132

**Новые β -дикетонатные комплексы кобальта(II)
с 1,3-диаминопропаном: синтез, структуры и
термическое поведение**

Ключевые слова: аддукты кобальта(II), β -дикетонат, рентгеноструктурный анализ, ДСК, MOCVD, Co-содержащие пленки

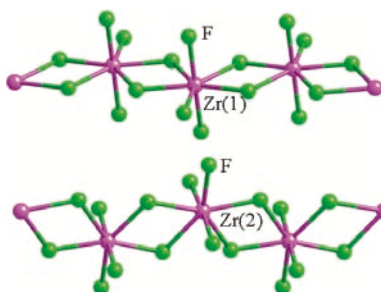


Давидович Р.Л., Ткачёв В.В., Логвинова В.Б.,
Ставила В.

1140

**Новые типы строения полимерных цепочечных
анионов в кристаллических структурах
комплексных фторидов циркония**

Ключевые слова: комплексный фторид циркония, 4-амино-1,2,4-триазол, гидроксоний, тетраэтиламмоний, кристаллическая структура, полимерная цепь, пентагональная бипирамида, тетраядерный фрагмент

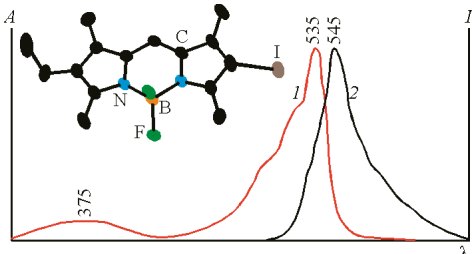


Гусева Г.Б., Антина Е.В., Нуранеева Е.Н., Березин М.Б.,
Выгин А.И.

1149

**Кристаллическая структура и спектрально-
люминесцентные свойства моноиодзамещенного
борфторидного комплекса дипирролилметена**

Ключевые слова: моноиодзамещенный дипирролилметенат бора(III), BODIPY, кристаллическая структура, спектрально-люминесцентные свойства



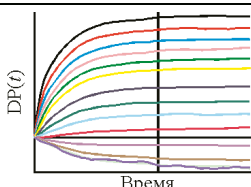
КРАТКИЕ СООБЩЕНИЯ

Волошин В.П., Маленков Г.Г., Наберухин Ю.И.

1155

**Долговременные корреляции в диффузионном
движении атомов жидкого аргона**

Ключевые слова: жидкий аргон, диффузионное движение, коллективные эффекты, крупномасштабные корреляции

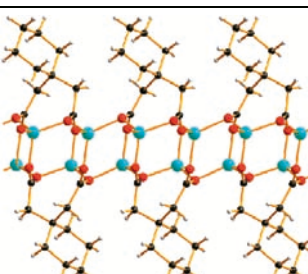


Алиев С.Б., Самсоненко Д.Г., Дыбцев Д.Н.,
Арджент С.П., Блэйк А.Дж., Шродер М., Федин В.П.

1158

**Циклогександиацетат дилития – слоистый
координационный полимер с невалентными
гидрофобными контактами**

Ключевые слова: литий, кристаллическая структура, слоистые координационные полимеры, невалентные взаимодействия

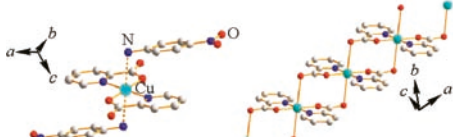


Niu J., Yuan L.-F., Li J., Guo H., Zhang F.-X.

1160

Crystal structures of two new Cu(II) complexes

Keywords: copper complex, crystal structure, 2-picolinic acid, 4-nitrophenylamine, synthesis

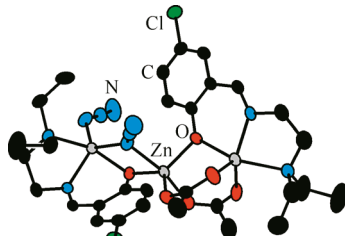


Sheng G.-H., Cheng X.-S., You Z.-L., Zhu H.-L.

1165

Crystal structure of a novel phenolato, azido, and acetato Co-bridged trinuclear zinc(II)complex derived from 4-chloro-2-[*(2-diethylaminoethylimino)methyl*]phenol

Keywords: Schiff base, trinuclear complex, zinc complex, crystal structure, X-ray crystallography

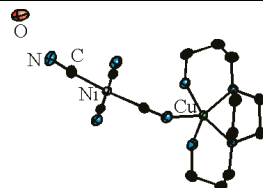


Smékal Z., Adams H.

1170

Binuclear complex $[\text{Cu}(\text{bappz})(\mu\text{-NC})\text{Ni}(\text{CN})_3]\cdot\text{H}_2\text{O}$ ($\text{bappz} = 1,4\text{-bis}(3\text{-aminopropyl)piperazine}$)

Keywords: copper(II) complexes, tetracyanonicelicates(II), cyano-bridged complexes, X-ray structure analysis

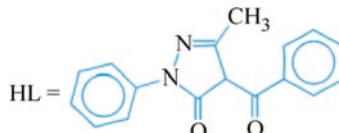


Чумаков Ю.М., Петренко П.А., Жуля Ф.Г.,
Цапков В.И., Гуля А.П.

1174

Кристаллическая структура бис(4-бензоил-3-метил-1-фенил-4,5-дигидро-1*H*-пиразол-5-онато)-(этанол)-диоксоуран(VI) этанол сольваты

Ключевые слова: рентгеноструктурный анализ, комплексы диоксоурана, 4-бензоил-3-метил-1-фенил-4,5-дигидро-1*H*-пиразол-5-он

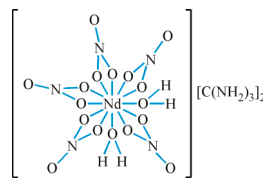


William W.N.

1178

Crystal structure of diguanidinium diaquapentakis(nitrato)neodymium(III)

Keywords: crystal structure, neodymium nitrate complex, guanidinium cation, hydrogen bonding

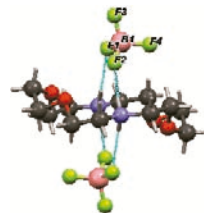


Гельмбольдт В.О., Ганин Э.В., Липковский Я.,
Фонарь М.С.

1182

Строение бис(тетрафторобората) 1,10-диазоний-18-краун-6

Ключевые слова: краун-эфир, комплекс хозяин–гость, водородные связи, кристаллическая структура



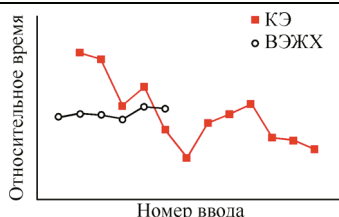
**МАТЕРИАЛЫ КОНФЕРЕНЦИИ
«МЕТОДЫ ИССЛЕДОВАНИЯ СОСТАВА И СТРУКТУРЫ
ФУНКЦИОНАЛЬНЫХ МАТЕРИАЛОВ»,
НОВОСИБИРСК, 21 – 25 ОКТЯБРЯ 2013 г.**

Жданов А.А., Шуваева О.В.

1184

Применение методов капиллярного электрофореза и высокоэффективной жидкостной хроматографии для изучения комплексных полиоксометаллов

Ключевые слова: капиллярный электрофорез, ион-парная ВЭЖХ, гетерополисоединения



Максимова О.А., Косырев Н.Н., Варнаков С.Н.,
Лященко С.А., Овчинников С.Г.

**Особенности анализа эллипсометрических данных
для магнитных наноструктур**

Ключевые слова: магнитоэллипсометрия,
эллипсометрические измерения,
магнитооптический эффект Керра, тонкие пленки,
модель полубесконечной среды, коэффициент преломления,
коэффициент поглощения, магнитооптический параметр

Габрук Н.Г., Олейникова И.И., Шутеева Т.А.

Углеродный фитосорбент – получение, структура

Ключевые слова: скорлупа грецкого ореха, карбонизация,
углеродный фитосорбент, электронная микроскопия,
флавоноиды, зверобой, биологически активные соединения

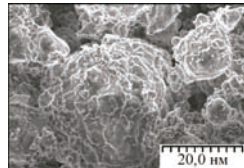
$$\Delta_0, \psi_0 \rightarrow n, k$$

$$\tan\psi_0 \exp(i\Delta_0) = R_p/R_s$$

$$\tan(\psi_0 + \delta\psi) \exp[i(\Delta_0 + \delta\Delta)] = (R_p + \delta R_p)/(R_s + \delta R_s)$$

$$\Delta_0, \psi_0 \rightarrow Q_1, Q_2$$

1190



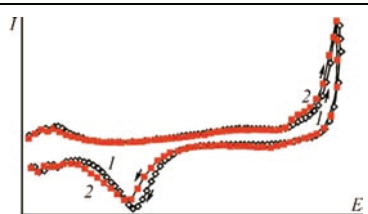
1198

Ахмедов М.А., Хидиров Ш.Ш.

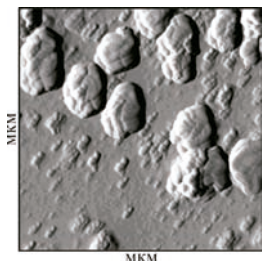
Определение состава и свойств

метансульфокислоты методом вольтамперометрии

Ключевые слова: вольтамперометрия, адсорбция, электрод,
поляризация, потенциал, платина, метансульфокислота,
серная кислота



1204



1208

Дягилев Д.В., Ларичев Т.А., Пугачёв В.М.,
Владимиров А.А., Сотникова Л.В., Манина Т.С.,
Степанов А.Ю., Дудникова Ю.Н.

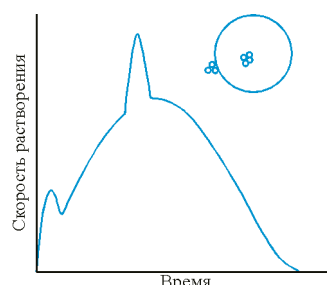
**Исследование дисперсности и структуры
нанокристаллических порошков фотоактивного
диоксида титана**

Ключевые слова: диоксид титана, анатаз, рутил,
фотокатализатор, синтез, золь-гель метод, адсорбция

Почтарь А.А., Васильева И.Г., Малахов В.В.

**Определение проявлений пространственной
неоднородности химического состава
функциональных материалов методами
стехиографии**

Ключевые слова: фазовый анализ,
метод дифференцирующего растворения,
неоднородность состава и структуры твердых фаз,
математическое моделирование динамических процессов
растворения

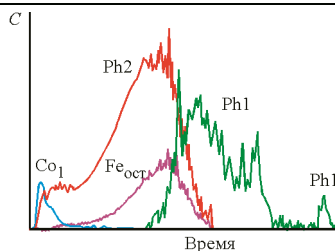


1216

Довлитова Л.С., Почтарь А.А., Малахов В.В.

**Определение фазового состава предшественников
катализаторов многослойных углеродных
нанотрубок стехиографическим методом
дифференцирующего растворения**

Ключевые слова: катализаторы синтеза МУНТ,
дифференцирующее растворение, стехиографический метод



1222